

8 - 1 中国・四国地方の地殻変動 Crustal Movements in the Chugoku District

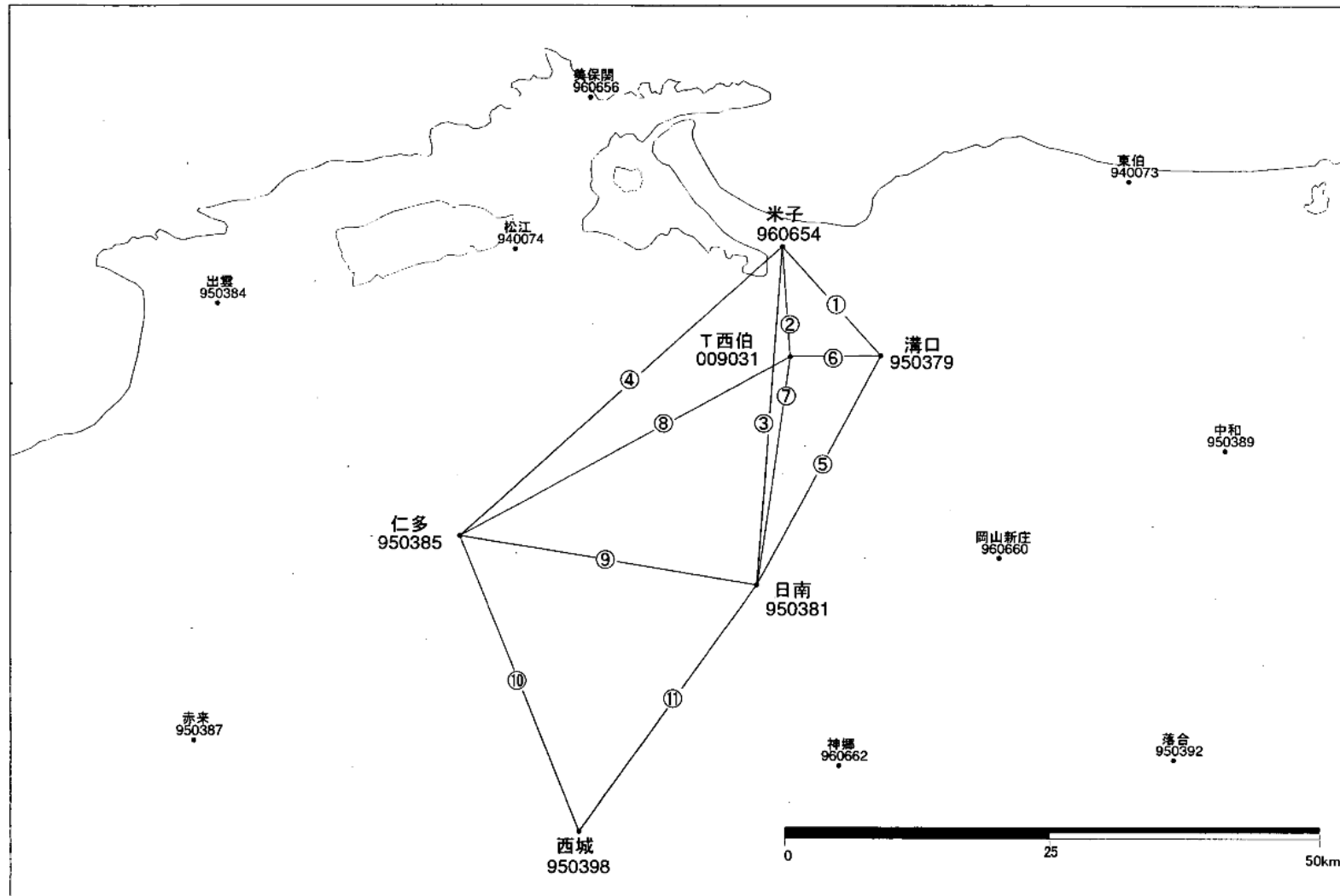
国土地理院
Geographical Survey Institute

第1図-(1)~(7)は、2000年10月6日鳥取県西部地震発生地域周辺のGPS連続観測結果である。震央の北部で予効変動らしき変動が続いていたが、2001年後半に入って停止したように見える。

第2図-(1)~(3)は、2001年芸予地震の震央周辺のGPS連続観測結果である。本震に伴うコサイスマミックな変動が見られるが、それ以外に顕著な変動があるようにはみえない。

第3図-(1)~(3)は、瀬戸内海中部のGPS連続観測結果であるが、2001年芸予地震に伴うコサイスマミックな変動が見られる。測定結果は、安定しておりそれ以外に大きな変化はない。

鳥取県西部地方GPS連続観測基線図



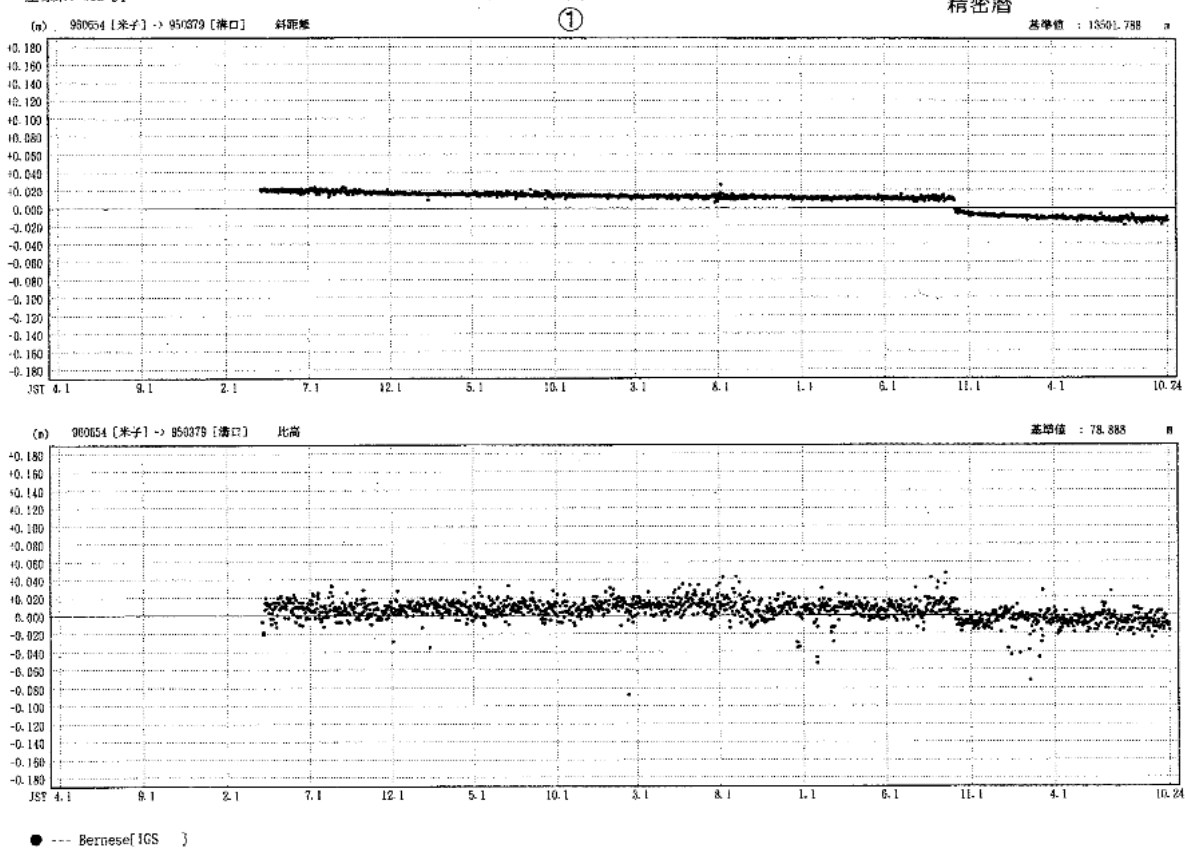
第1図-(1) 鳥取県西部地震発生地域周辺のGPS連続観測結果(1)

Fig.1-(1) Results of continuous GPS measurements in the western part of Tottori prefecture (1 of 7).

期 間: 1996年4月1日 ~ 2001年10月24日
座標系: WGS-84

基線長・比高変化グラフ

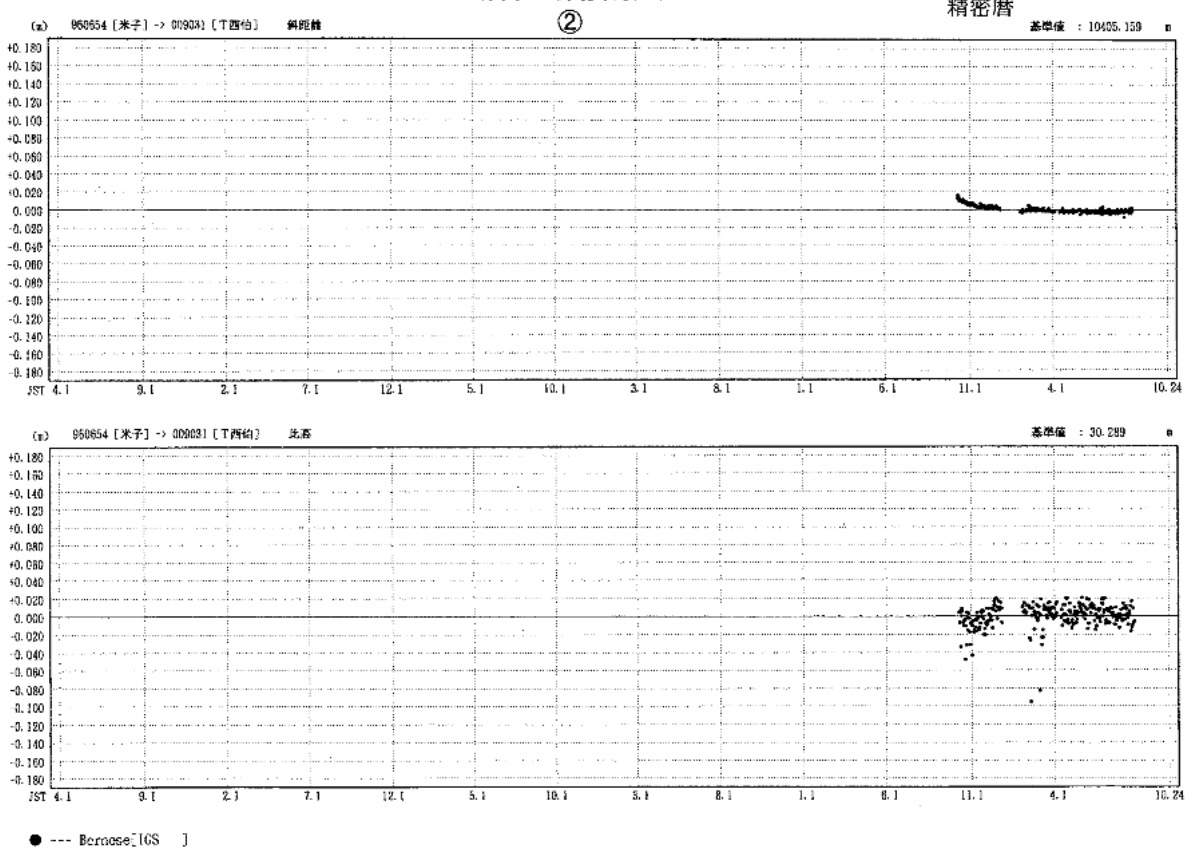
精密暦



期 間: 1996年4月1日 ~ 2001年10月24日

基線長・比高変化グラフ

精密暦



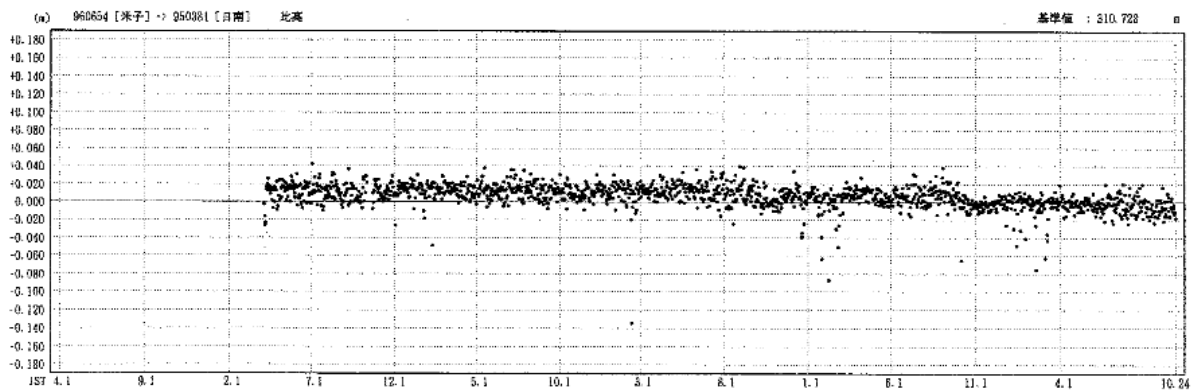
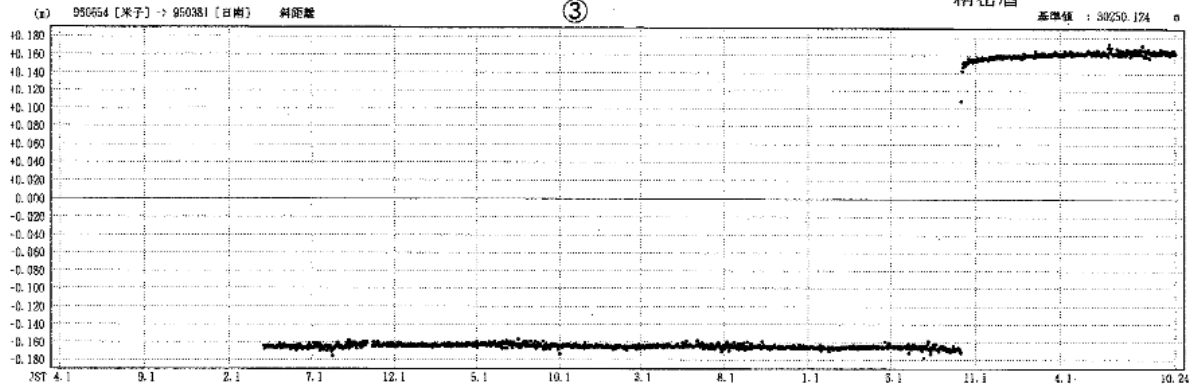
第1図-(2) 鳥取県西部地震発生地域周辺のGPS連続観測結果(2)

Fig.1-(2) Results of continuous GPS measurements in the western part of Tottori prefecture (2 of 7).

期 間: 1996年4月1日 ~ 2001年10月24日

基線長・比高変化グラフ

精密暦

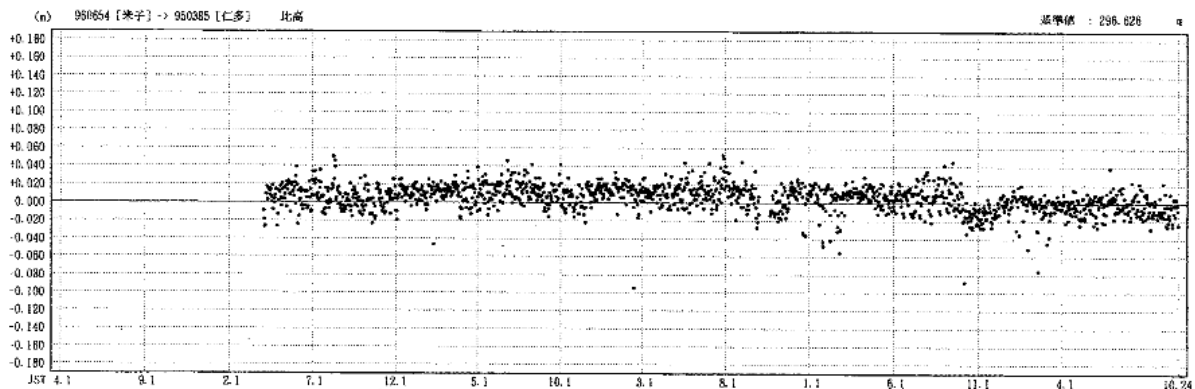
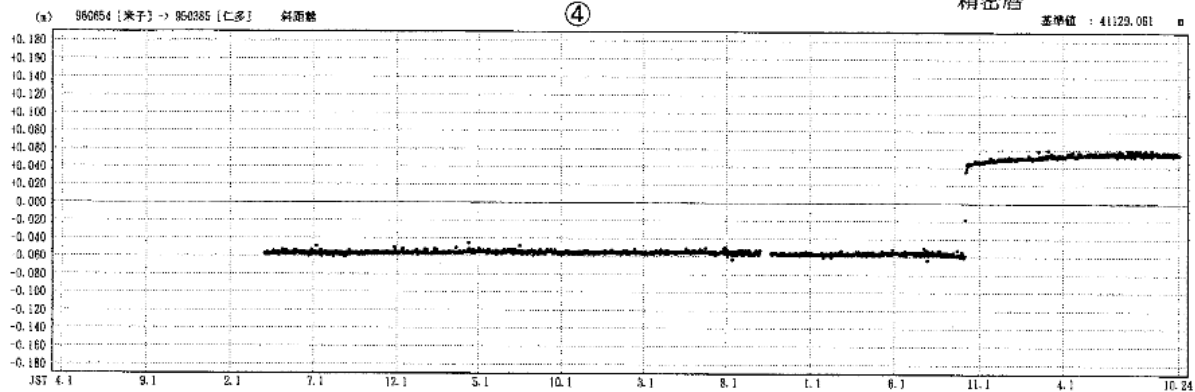


● --- Bernese[IGS]

期 間: 1996年4月1日 ~ 2001年10月24日

基線長・比高変化グラフ

精密暦



● --- Bernese[IGS]

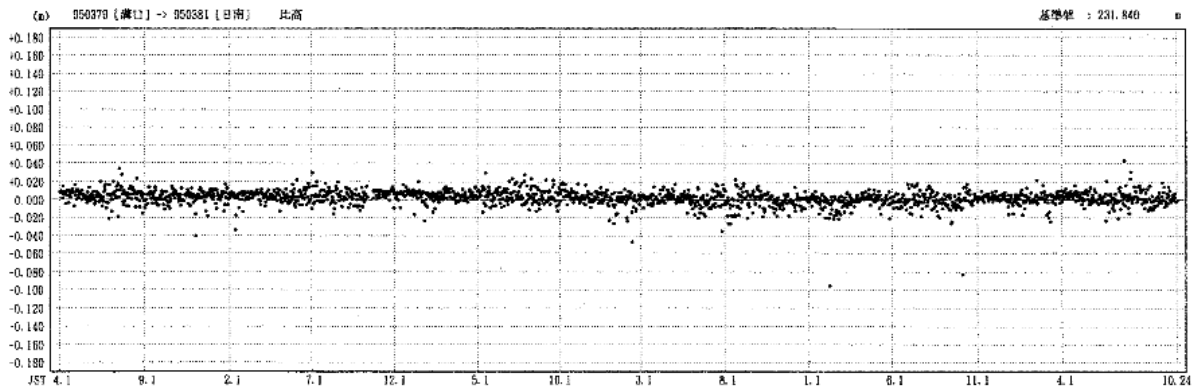
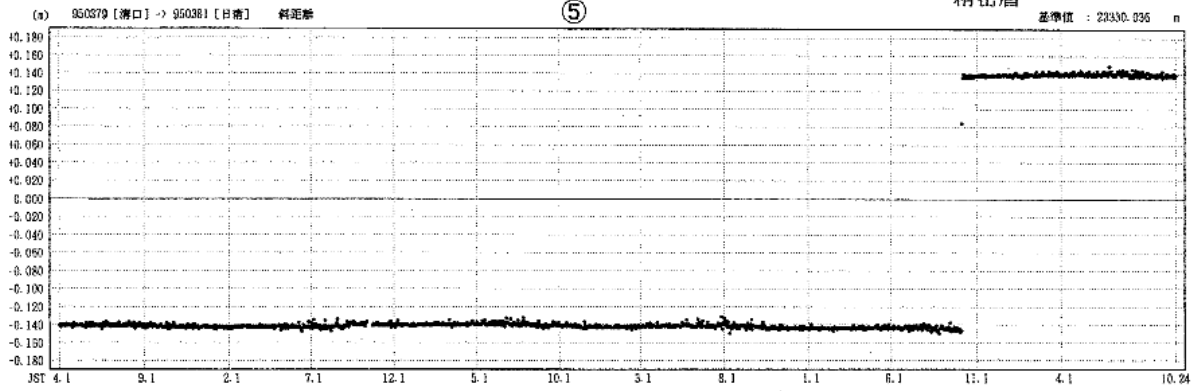
第1図-(3) 鳥取県西部地震発生地域周辺のGPS連続観測結果(3)

Fig.1-(3) Results of continuous GPS measurements in the western part of Tottori prefecture(3 of 7).

期 間: 1996年4月1日 ~ 2001年10月24日

基線長・比高変化グラフ

精密暦

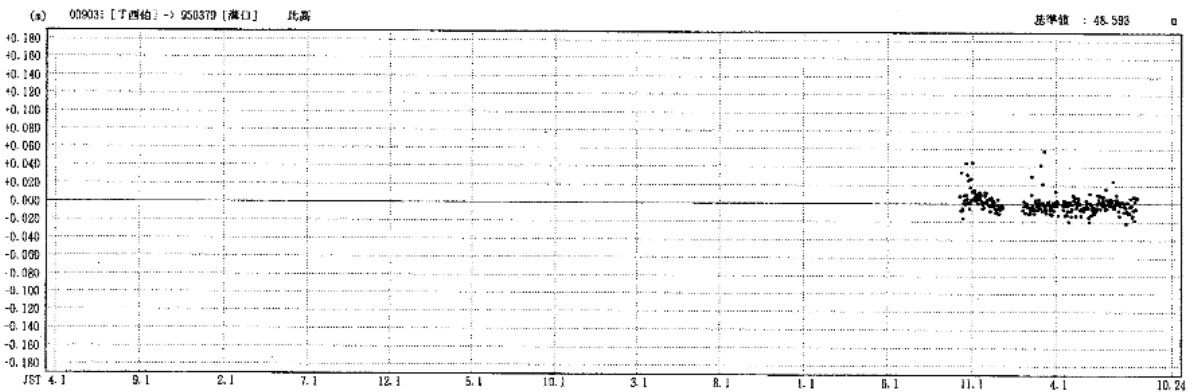
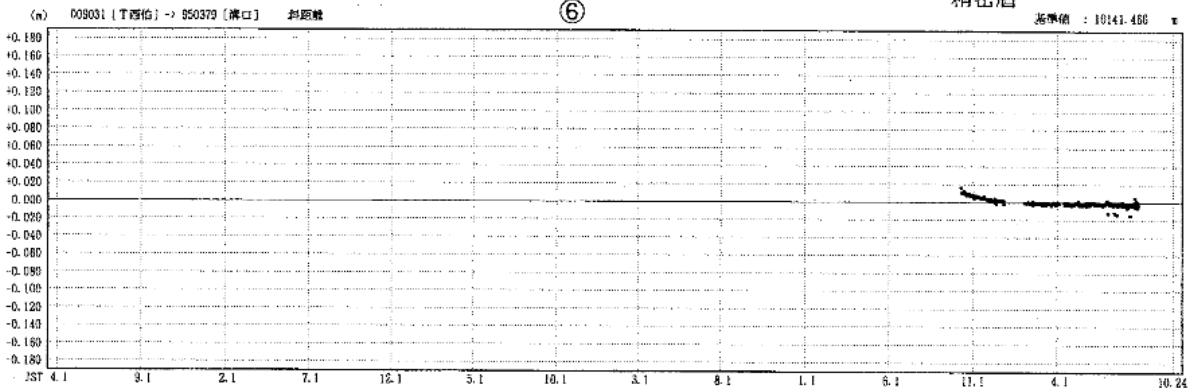


● --- Bernese IGS]

期 間: 1996年4月1日 ~ 2001年10月24日

基線長・比高変化グラフ

精密暦



● --- Bernese IGS]

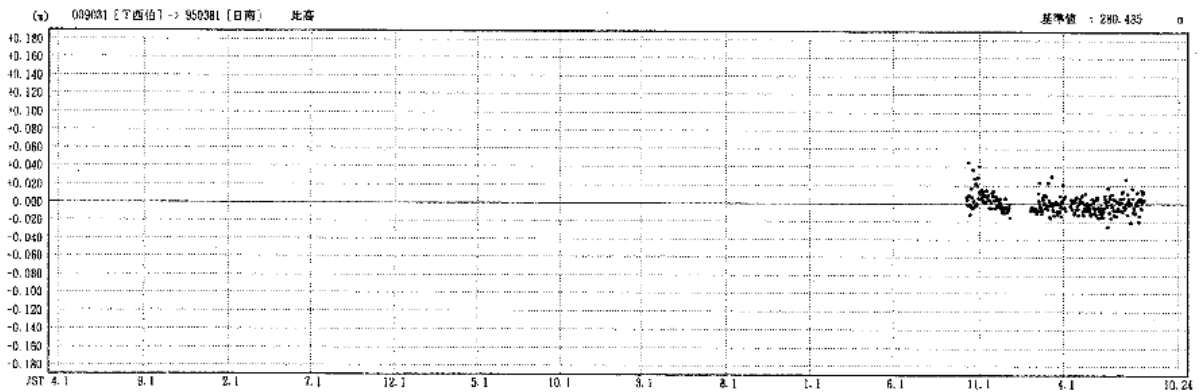
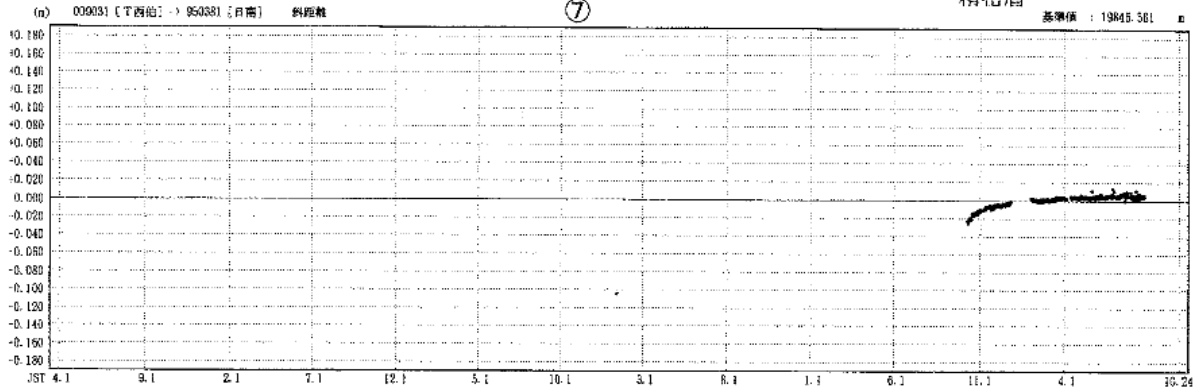
第1図-(4) 鳥取県西部地震発生地域周辺のGPS連続観測結果(4)

Fig.1-(4) Results of continuous GPS measurements in the western part of Tottori prefecture (4 of 7).

期 間: 1996年4月1日 ~ 2001年10月24日

基線長・比高変化グラフ

精密暦

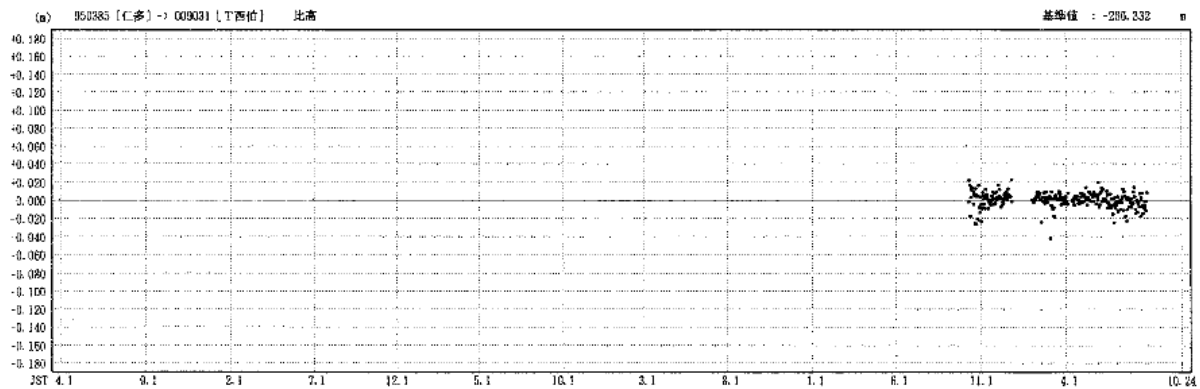
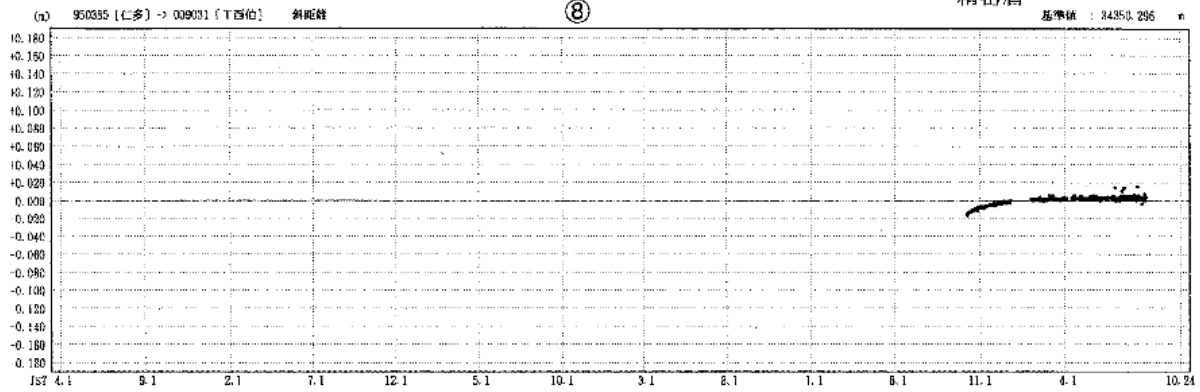


● --- Bernese [IGS]

期 間: 1996年4月1日 ~ 2001年10月24日

基線長・比高変化グラフ

精密暦



● --- Bernese [IGS]

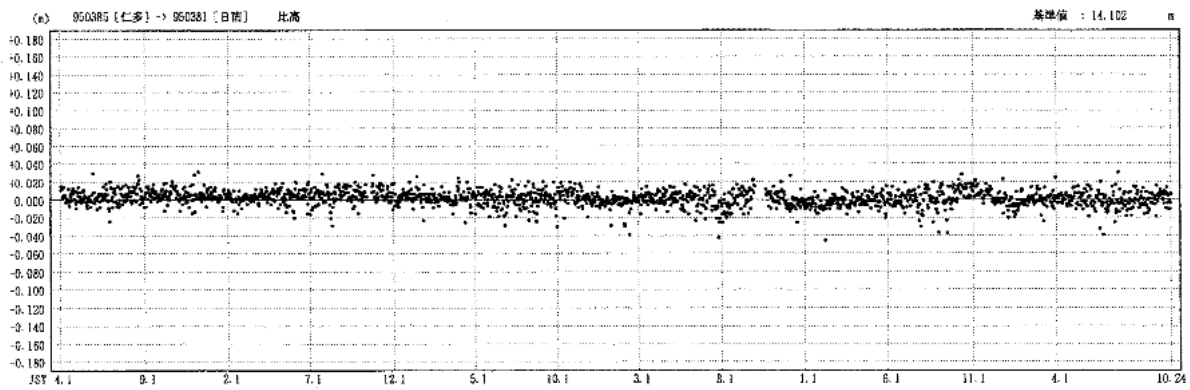
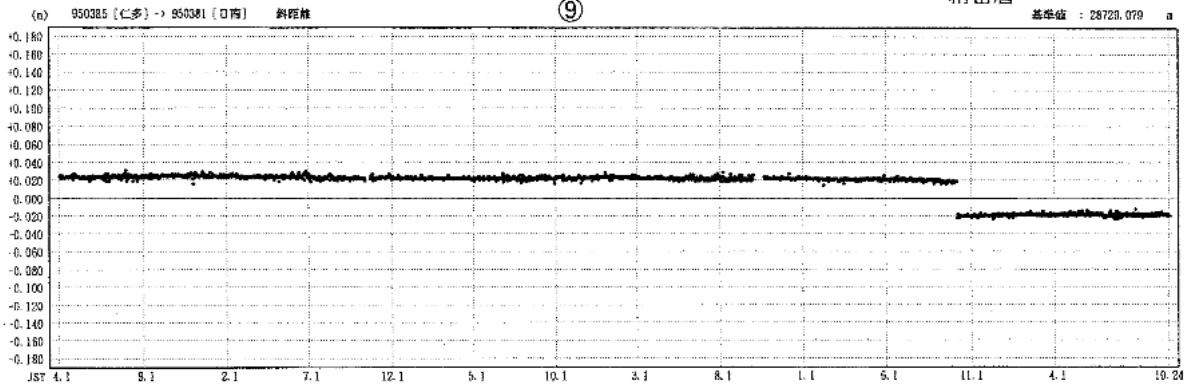
第1図-(5) 鳥取県西部地震発生地域周辺のGPS連続観測結果(5)

Fig.1-(5) Results of continuous GPS measurements in the western part of Tottori prefecture (5 of 7).

期 間: 1996年4月1日 ~ 2001年10月24日

基線長・比高変化グラフ

精密暦

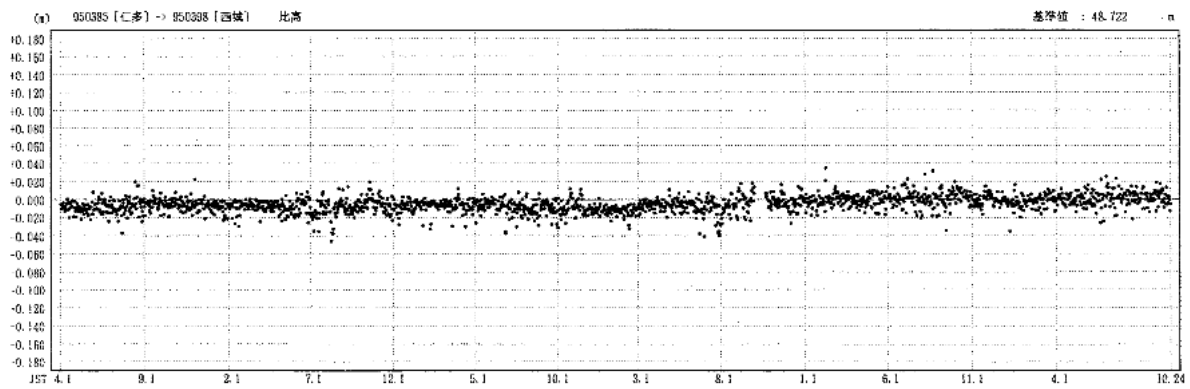
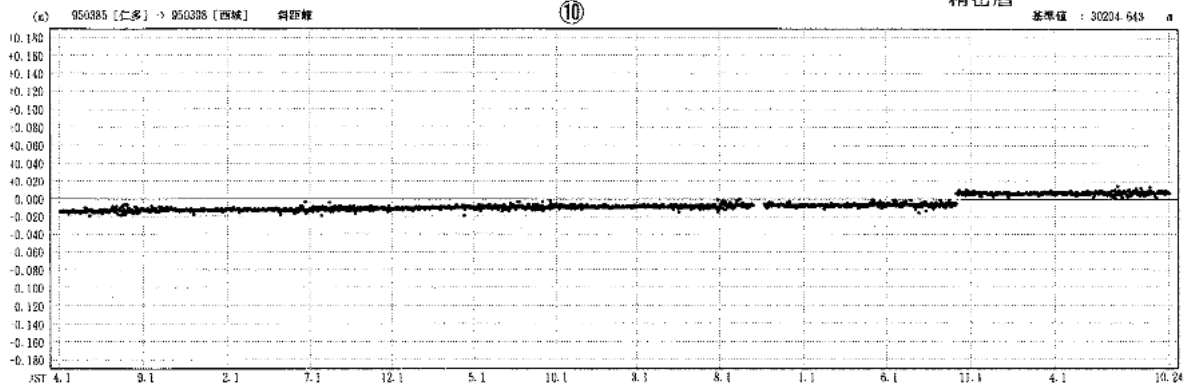


● --- Bernese[IGS]

期 間: 1996年4月1日 ~ 2001年10月24日

基線長・比高変化グラフ

精密暦



● --- Bernese[IGS]

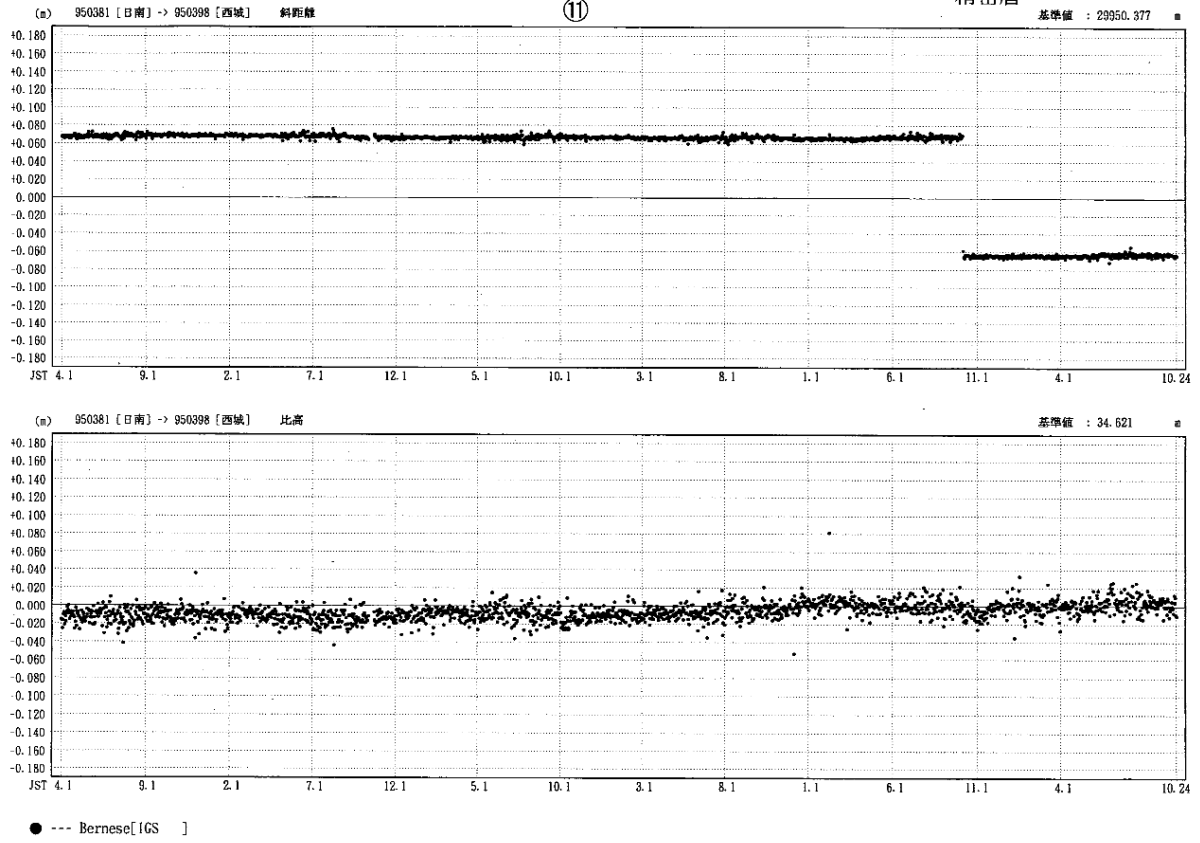
第1図-(6) 鳥取県西部地震発生地域周辺のGPS連続観測結果(6)

Fig.1-(6) Results of continuous GPS measurements in the western part of Tottori prefecture (6 of 7).

期 間：1995年4月1日 ~ 2001年10月24日

基線長・比高変化グラフ

精密暦



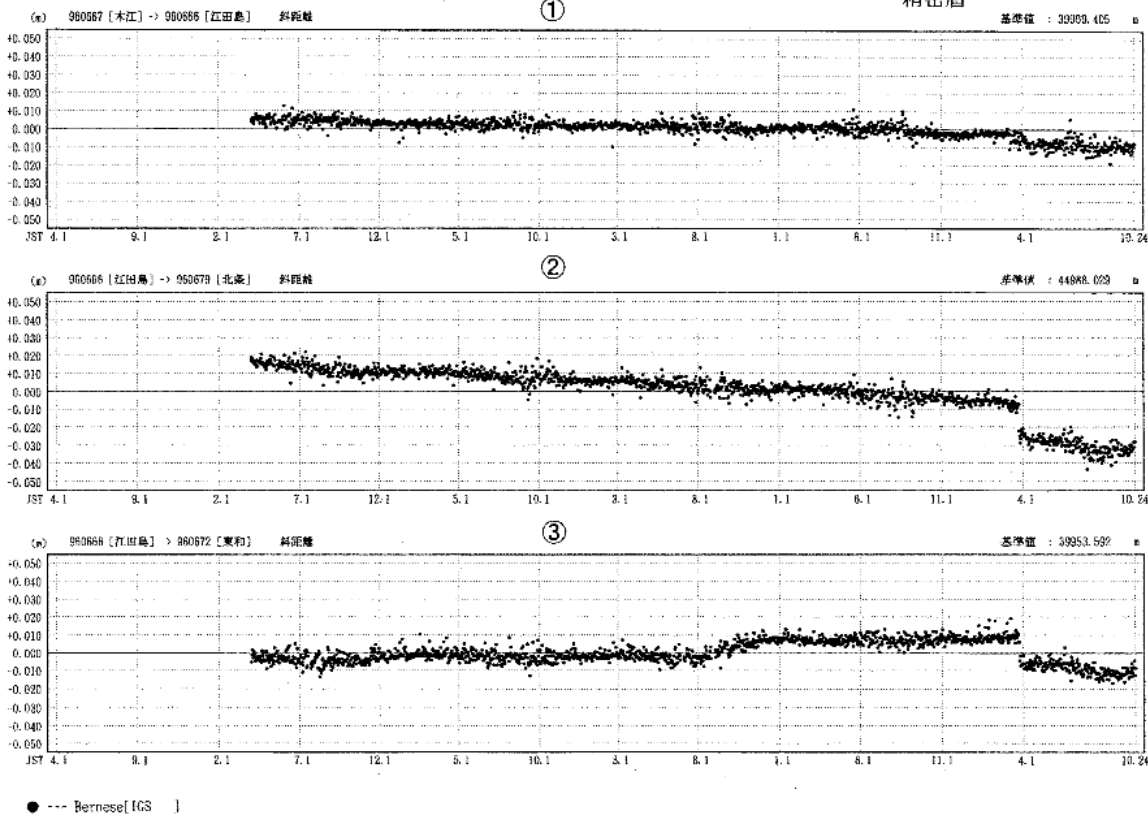
第1図-(7) 鳥取県西部地震発生地域周辺のGPS連続観測結果(7)

Fig.1-(7) Results of continuous GPS measurements in the western part of Tottori prefecture (7 of 7).

期間: 1996年4月1日 ~ 2001年10月24日
座標系: WGS-84

基線長変化グラフ

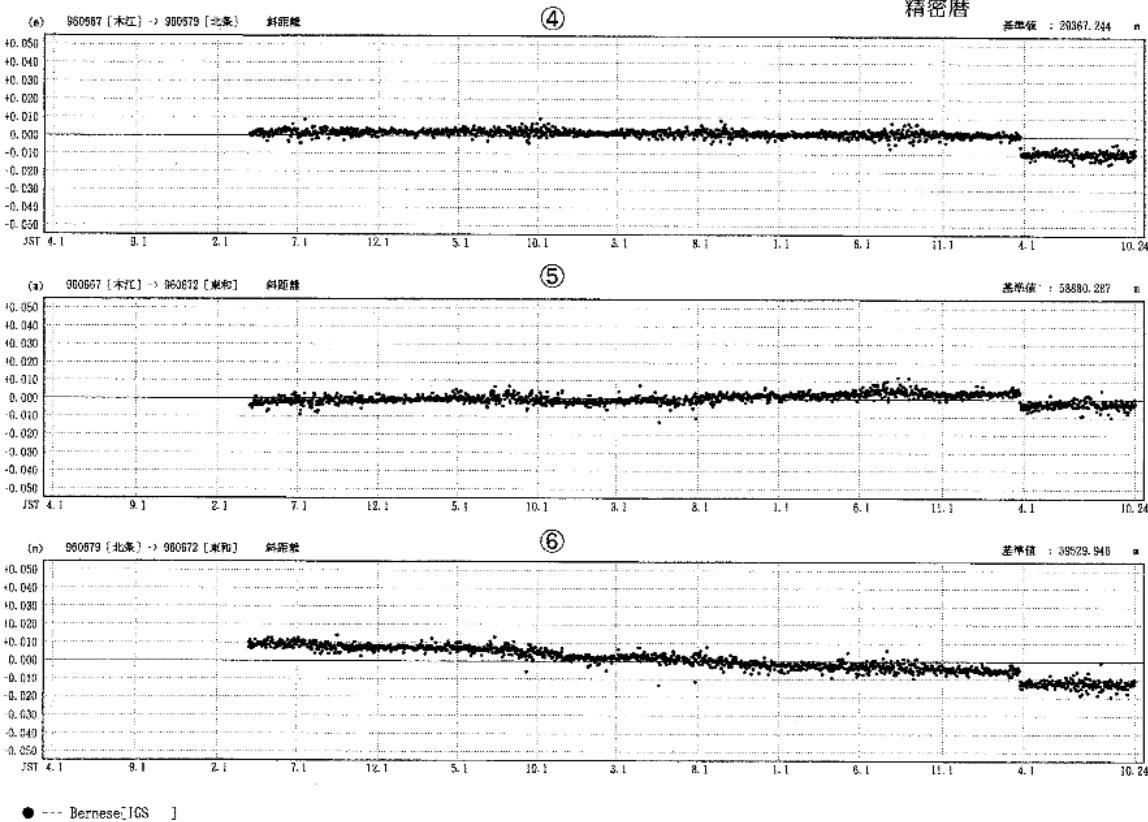
精密暦



期間: 1996年4月1日 ~ 2001年10月24日

基線長変化グラフ

精密暦



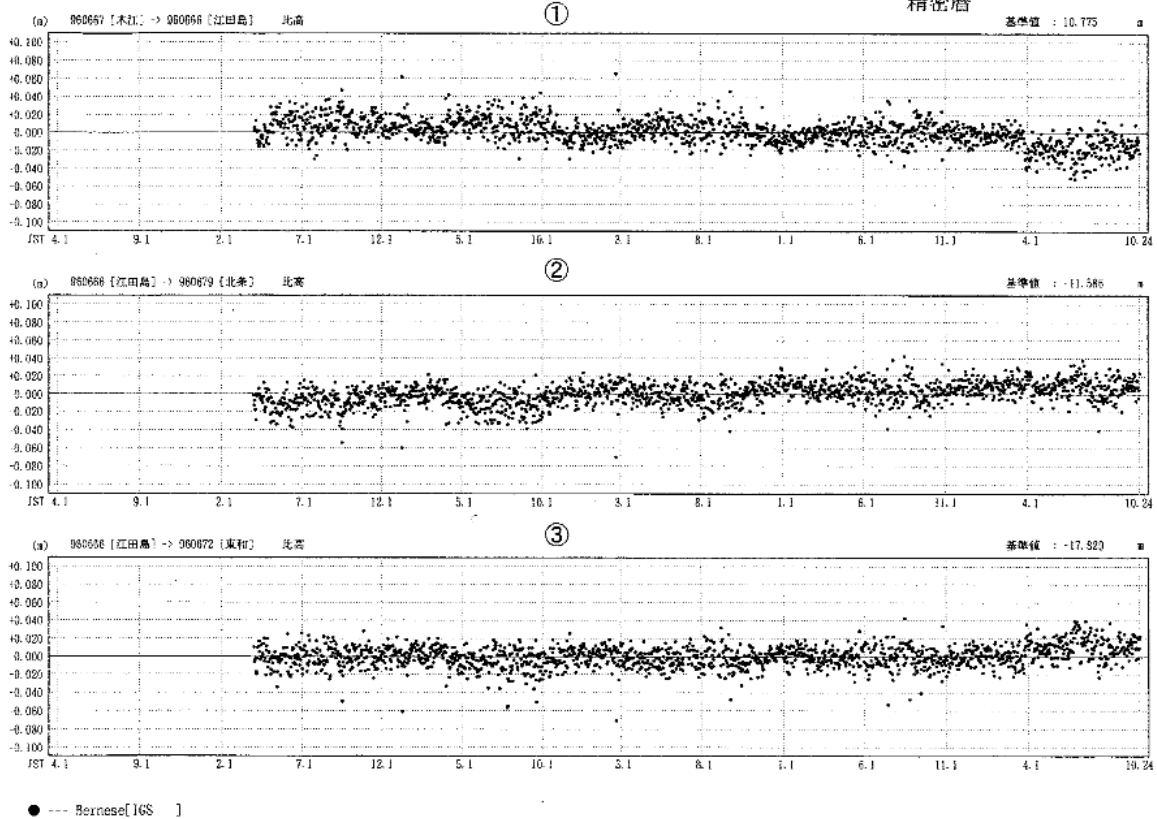
第2図-(2) 芸予地震の震央周辺のGPS連続観測結果(2)

Fig.2-(2) Results of continuous GPS measurements in the epicentral region of 2001 Geiyo Earthquake (2 of 3).

期 間：1996年4月1日 ~ 2001年10月24日
 座標系：WGS-84

比高変化グラフ

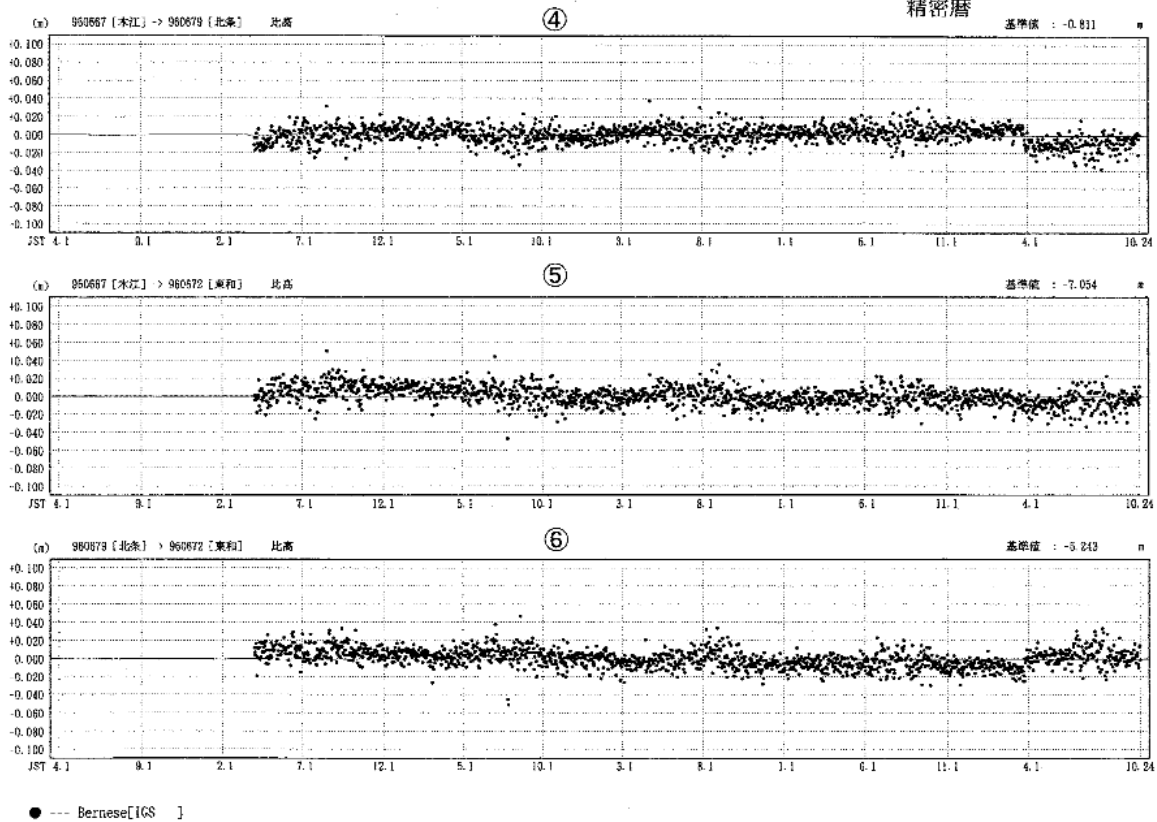
精密暦



期 間：1996年4月1日 ~ 2001年10月24日

比高変化グラフ

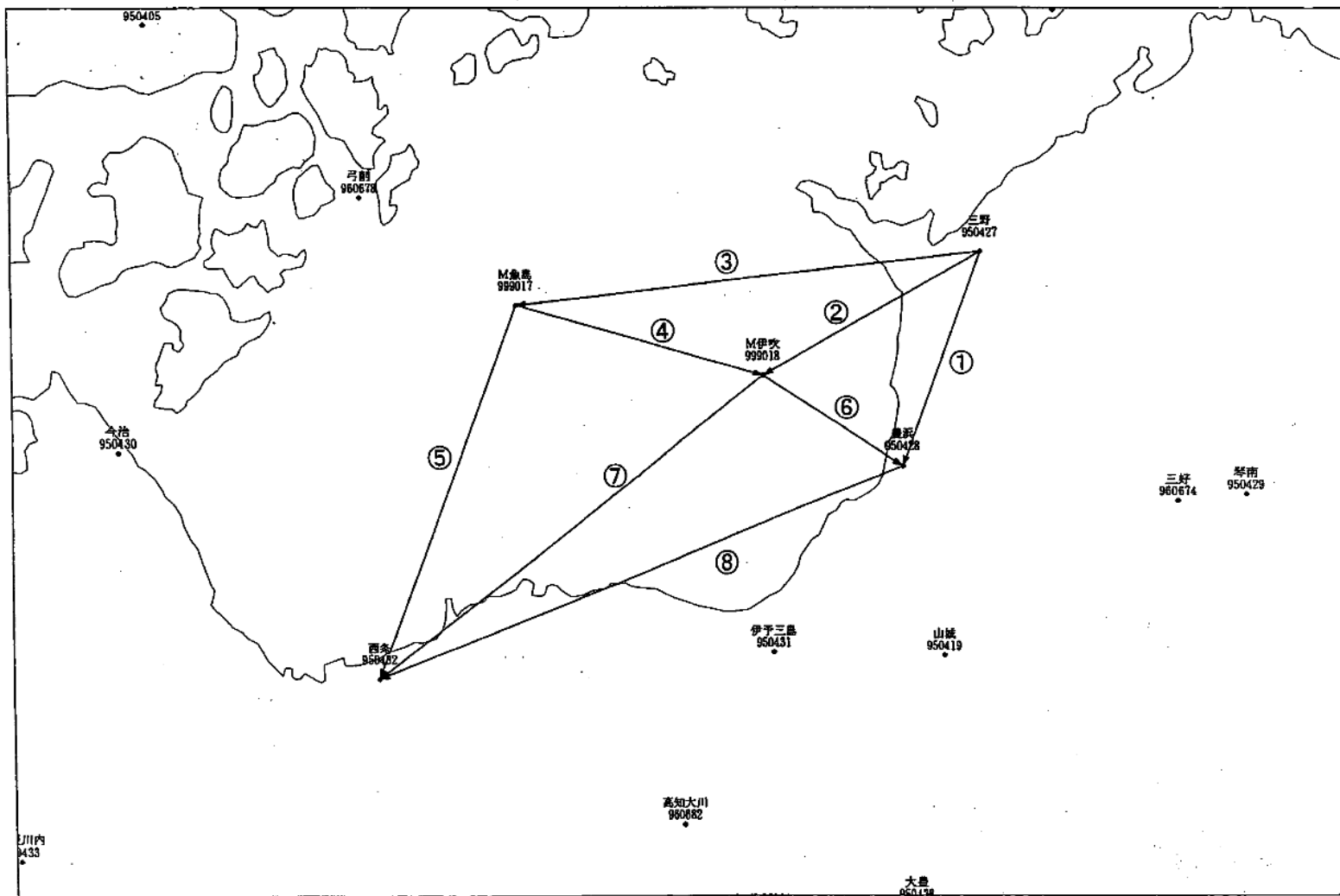
精密暦



第2図-(3) 芸予地震の震央周辺のGPS連続観測結果(3)

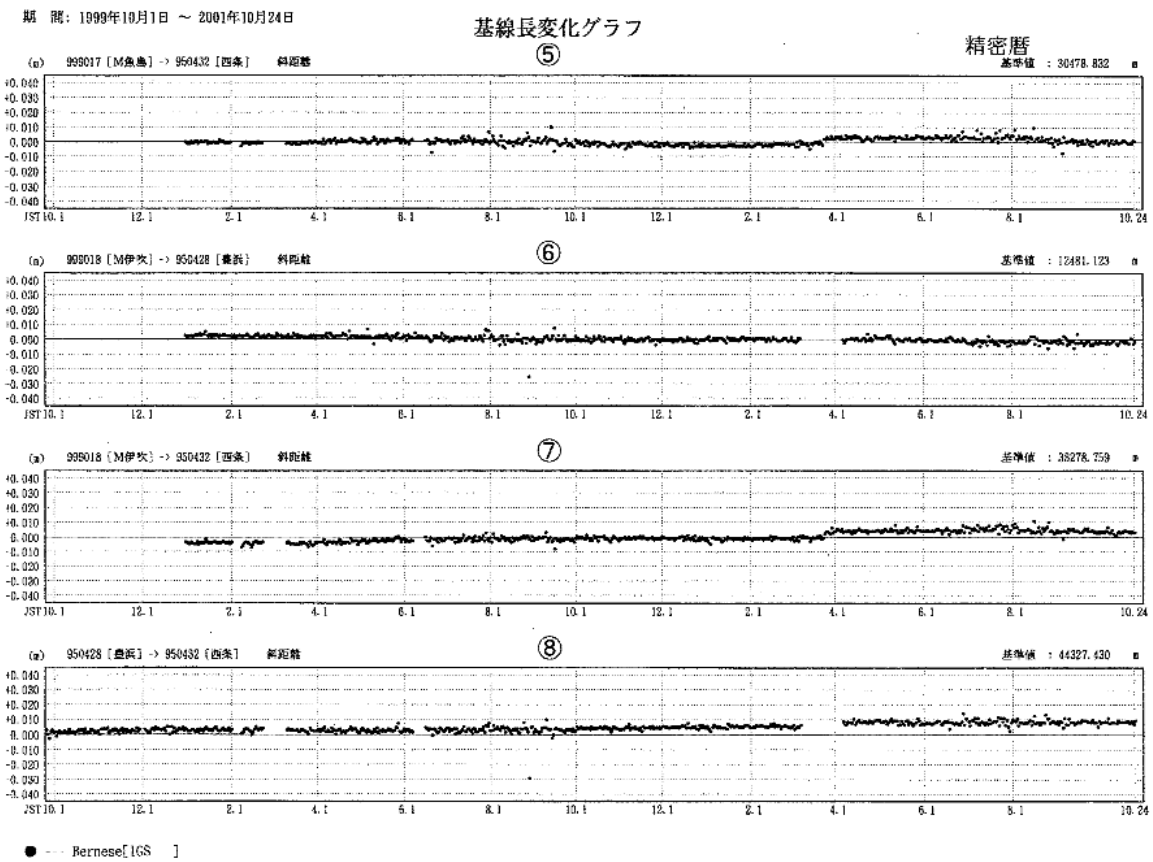
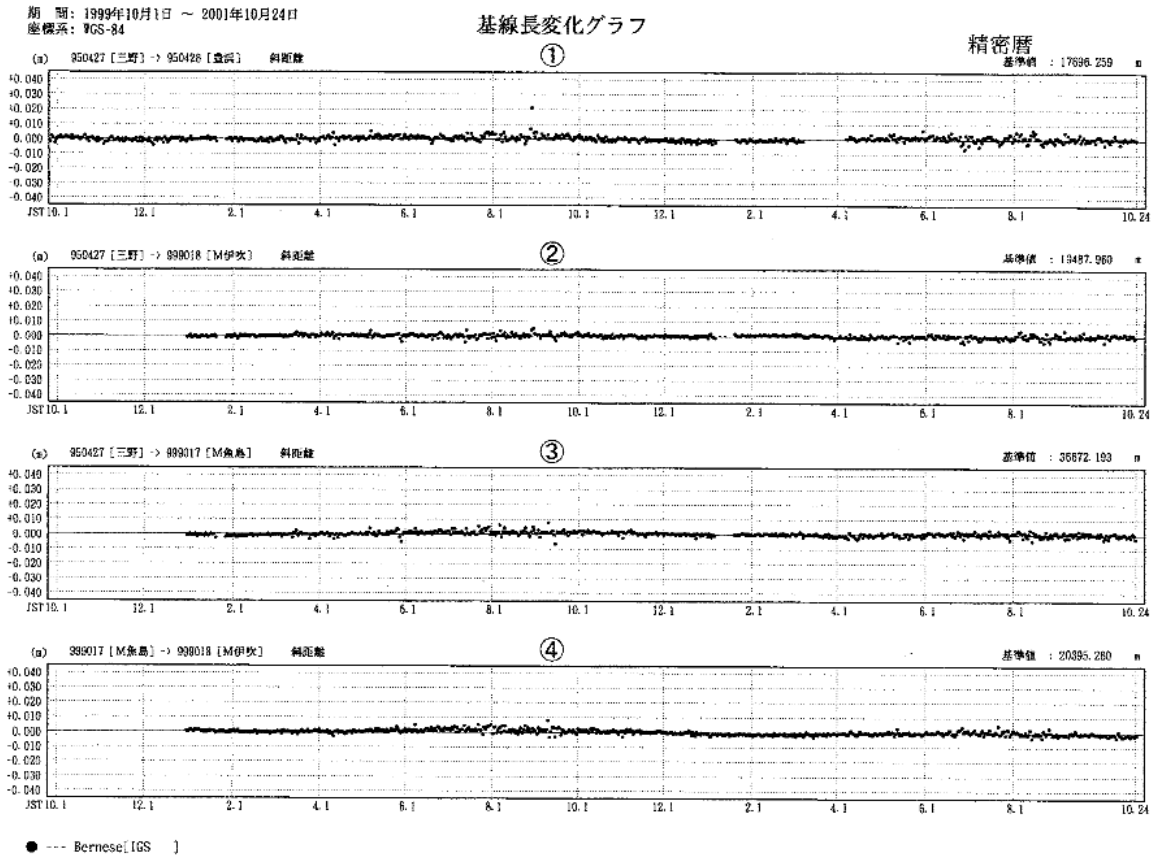
Fig.2-(3) Results of continuous GPS measurements in the epicentral region of 2001 Geiyo Earthquake (3 of 3).

瀬戸内中部 GPS連続観測 基線図



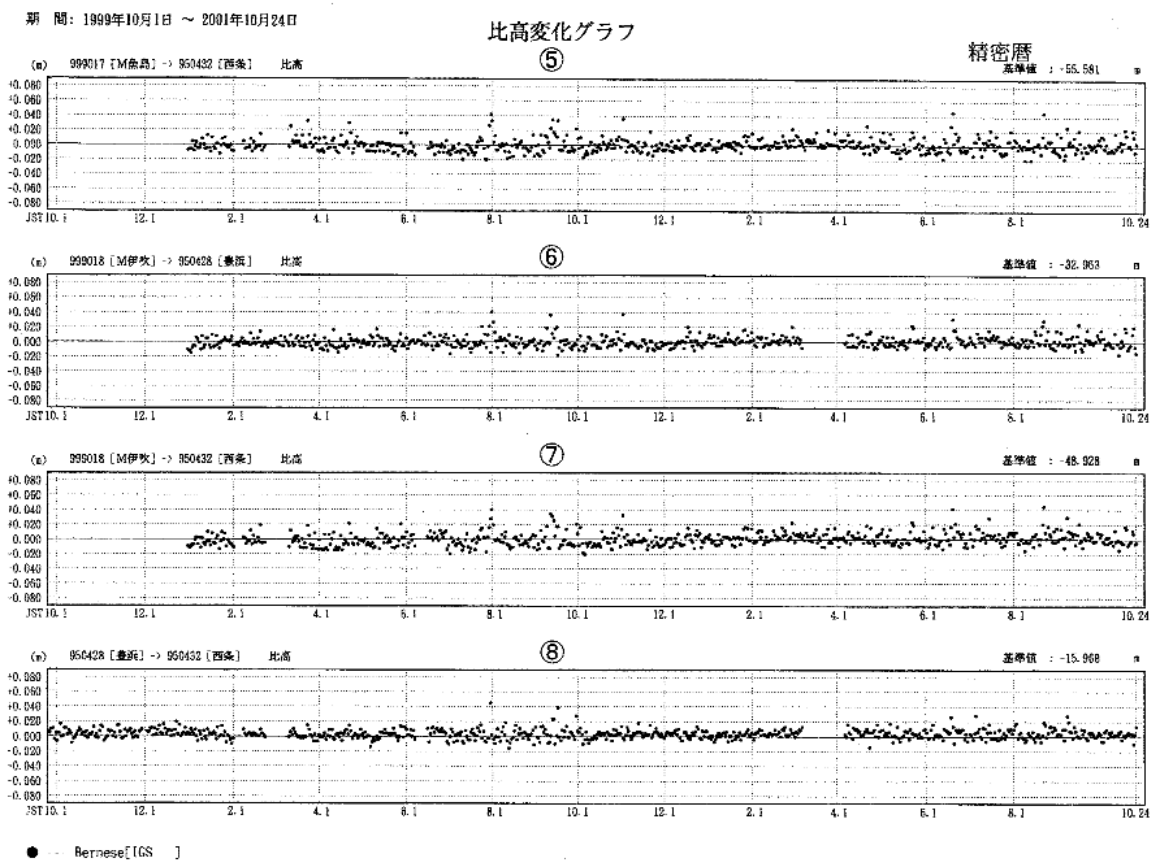
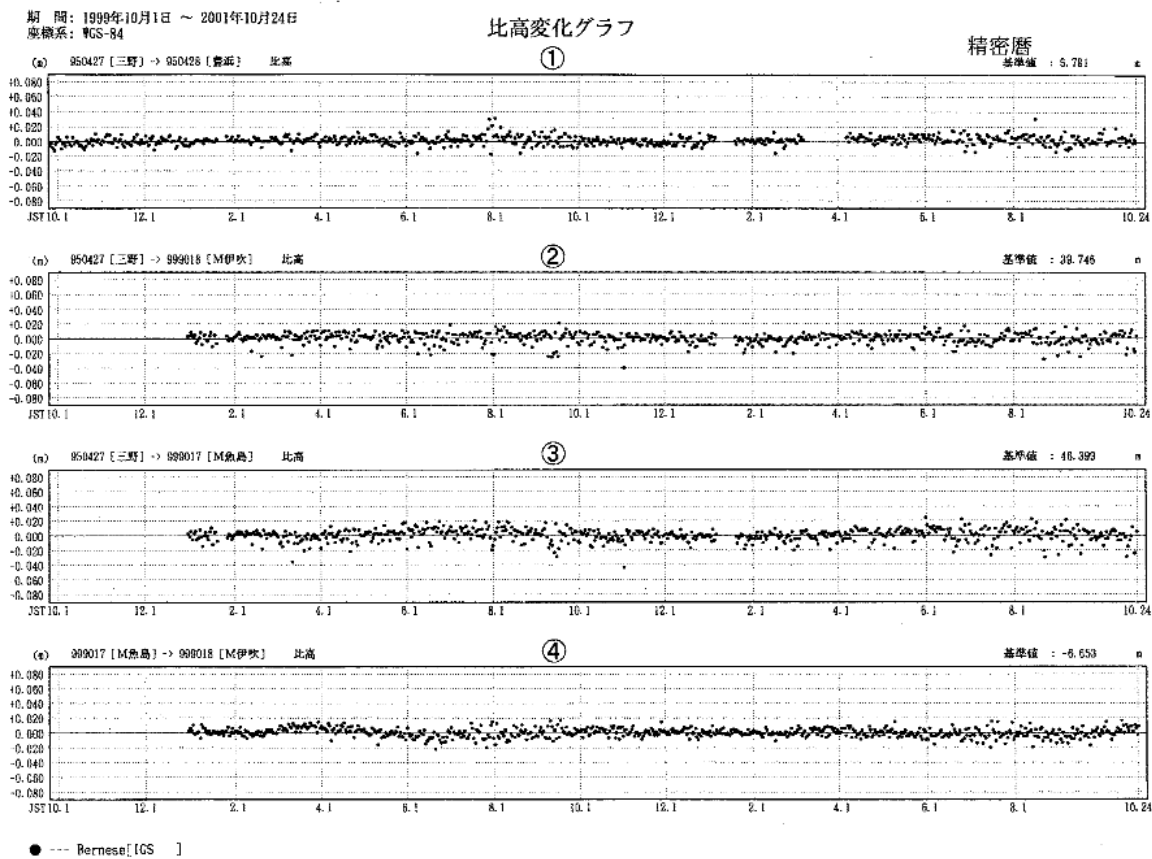
第3図-(1) 瀬戸内海中部の GPS 連続観測結果(1)

Fig.3-(1) Results of continuous GPS measurements in the central part of the Seto Inland Ocean (1 of 3).



第3図-(2) 瀬戸内海中部の GPS 連続観測結果(2)

Fig.3-(2) Results of continuous GPS measurements in the central part of the Seto Inland Ocean (2 of 3).



第3図-(3) 瀬戸内海中部の GPS 連続観測結果(3)

Fig.3-(3) Results of continuous GPS measurements in the central part of the Seto Inland Ocean (3 of 3).